

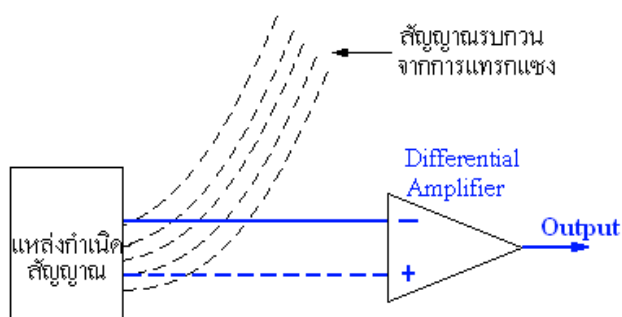
บทที่ 3

การออกแบบวงจรขยายสัญญาณไปโอโพเทนเซียล

โดยทั่วไประดับของสัญญาณไปโอโพเทนเซียล (Biopotential Amplifier) จะมีขนาดตั้งแต่ 100 ไมโครโวลต์ ถึง 5 มิลลิโวลต์ เป็นสัญญาณขนาดเล็กมาก และมีความถี่ระหว่าง 0.05 เฮิรตซ์ ถึง 500 เฮิรตซ์ จึงจำเป็นต้องขยายสัญญาณเพื่อให้เราสามารถนำไปวิเคราะห์สัญญาณนั้นต่อไปได้ พารามิเตอร์ที่สำคัญในการออกแบบวงจรขยายสัญญาณไปโอโพเทนเซียล ได้แก่ อัตราการขยายสัญญาณ ใหมครั่วม การกำจัดแรงดันไฟฟ้า การกำจัดสัญญาณรบกวนที่เกิดจาก Power line การลดเชยค่าคาปaziเตอร์

3.1 การกำจัดสัญญาณรบกวน [สูรภัทร วงศ์เวียงจันทร์, 2537]

เนื่องจากระดับของสัญญาณไปโอโพเทนเซียลมีขนาดเล็ก ในการวัดสัญญาณจึงมีสัญญาณรบกวนที่เกิดจากอุปกรณ์หรือเครื่องไฟฟ้าที่มีต่อการทำงานของจรรถกความถี่ 50 เฮิรตซ์ ของระบบไฟฟ้าภายในอาคารปะปนเข้ามา กับสัญญาณที่เราต้องการวัดซึ่งส่วนมากจะมีขนาดใหญ่กว่าสัญญาณสัญญาณไปโอโพเทนเซียล ดังแสดงไว้ในภาพประกอบ 3.1 เป็นการต่อแหล่งกำเนิดสัญญาณระดับต่ำๆ เข้าสู่อินพุตของวงจรขยายสัญญาณขนาดใหญ่ โดยผ่านวงจรขยายผลต่างก่อน (Differential Amplifier) โดยอาจจะเป็นสัญญาณจากอุปกรณ์ตรวจจับความผิดพลาด เช่น วีทส์โตน บริดจ์สเตรนเกจ (bridge strain gauge) หรือ การตรวจจับด้วยระบบลำแสง (electro-optical elector) หรือเครื่องมือตรวจจับคลื่นไฟฟ้าของหัวใจ (ECG)



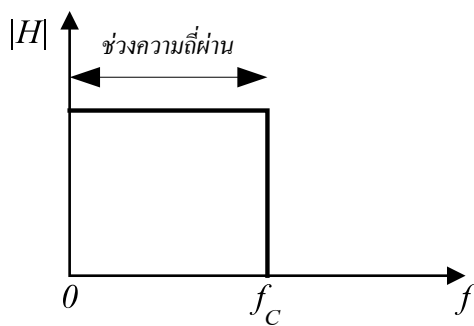
ภาพประกอบ 3.1 การแทรกแซงของสัญญาณรบกวน EMI ภายในอาคาร

การกำจัดสัญญาณรบภายนอกทำได้โดยการใช้หลักการของวงจรกรองความถี่ และหลักการของอัตราการขจัดสัญญาณโภมคร่าวม (CMRR) ซึ่งวงจรกรองความถี่แบ่งออกเป็นสองรูปแบบคือ วงจรกรองความถี่แบบแอนalog (analog filter) กับวงจรกรองความถี่แบบดิจิตอล (digital filter)

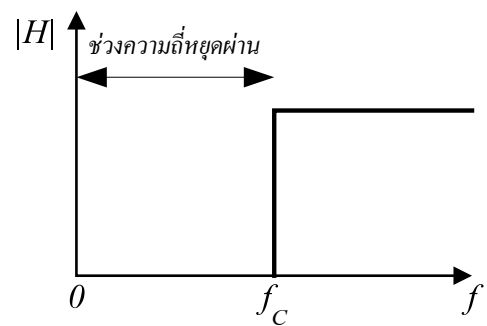
3.1.1 วงจรกรองความถี่แบบแอนalog (Analog Filter)

วงจรกรองความถี่แบบแอนalog จะทำหน้าที่จำแนกความถี่ออกตามความต้องการของ การใช้งาน ซึ่งแบ่งตามคุณลักษณะของผลตอบสนองความถี่ (Frequency response) ดังภาพ ประกอบ 3.2 ได้ 4 ชนิด คือ

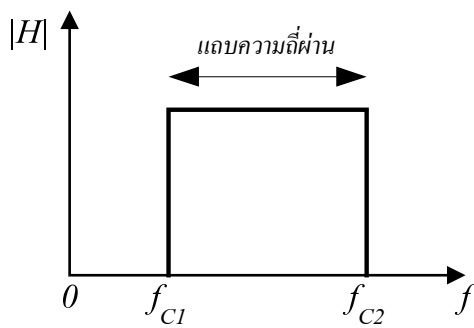
- วงจรกรองความถี่ต่ำผ่าน (Low-pass filter ; LPF)
- วงจรกรองความถี่สูงผ่าน (High-pass filter ; HPF)
- วงจรกรองแอบความถี่ผ่าน (Band-pass filter ; BPF)
- วงจรกรองแอบความถี่หยุดผ่าน (Band-stop filter ; BSF)



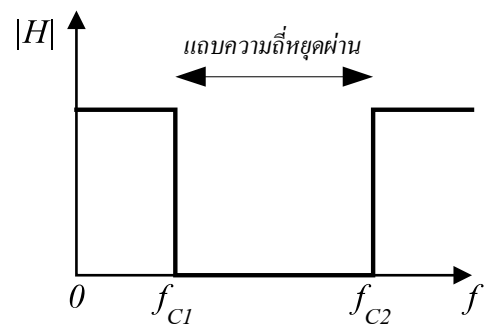
(ก) ผลตอบสนองของวงจรกรองความถี่ต่ำผ่าน



(ข) ผลตอบสนองของวงจรกรองความถี่สูงผ่าน



(ก) ผลตอบสนองของวงจรกรองแอบความถี่ผ่าน



(ข) ผลตอบสนองของวงจรกรองแอบความถี่หยุดผ่าน

ภาพประกอบ 3.2 ผลตอบสนองความถี่ของวงจรกรองอุคਮคติ

เมื่อ $|H|$ คือ ขนาดของแรงดันทางด้านเอาต์พุต

f_C คือ ความถี่ตัด (Cutoff Frequency)

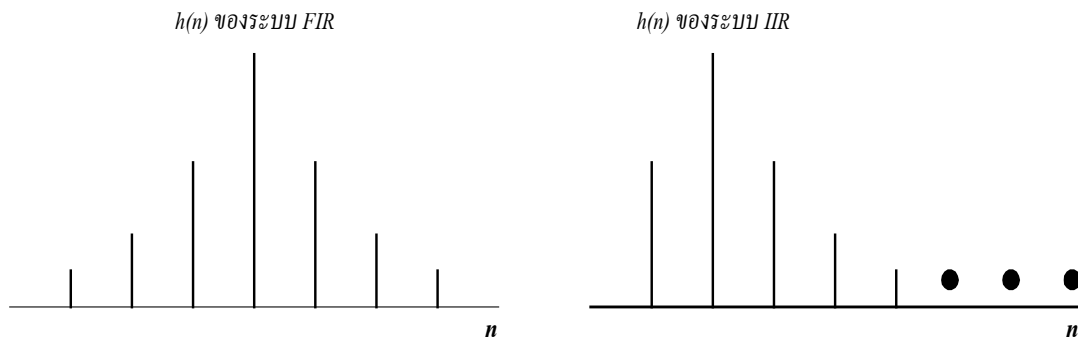
ข้อดีของวงจรกรองความถี่แบบแอนาลอก คือ ออกแบบได้ง่าย ราคาถูก ซึ่งประกอบไปด้วย ตัวความต้านทาน, ตัวเก็บประจุ, ตัวเหนี่ยวนำ และอุปกรณ์กึ่งตัวนำ เช่น օปแอมป์

ข้อเสียของวงจรกรองความถี่แบบแอนาลอก คือ วงจรขาดเสถียรภาพ (stability) มี ความคลาดเคลื่อนของความถี่ที่ต้องการสูง และจะจำจัดหรือกรองเฉพาะความถี่ที่กำหนดเท่านั้น

3.1.2 วงจรกรองความถี่แบบดิจิตอล (Digital Filter)

ประเภทของวงจรกรองความถี่แบบดิจิตอล จะแบ่งตามผลตอบสนองอิมพลัสของระบบ ตามภาพประกอบ 3.3 ได้ 2 แบบ คือ

- แบบผลตอบสนองอิมพลัสจำนวนจำกัด (Finite Impulse Response; FIR)
- แบบผลตอบสนองอิมพลัสจำนวนไม่จำกัด (Infinite Impulse Response; IIR)



ภาพประกอบ 3.3 ผลตอบสนองต่อสัญญาณอิมพลัสของวงจรกรอง FIR และ IIR

ข้อดีของวงจรกรองความถี่แบบดิจิตอล มีเสถียรภาพที่ดีกว่า ความถี่ที่ต้องการมีความคลาดเคลื่อนน้อยกว่า มีผลตอบสนองทางเฟสแบบเชิงเส้น (linear phase)

ข้อเสียของวงจรกรองความถี่แบบดิจิตอล คือ การออกแบบทำได้ยาก และมีราคาสูงกว่า

ดังนั้นการจำจัดสัญญาณรุกวนโดยใช้วงจรกรองความถี่แบบแอนาลอก และดิจิตอลนั้นจะต้องออกแบบวงจรให้มีความสามารถจำจัดสัญญาณรบกวนทุกความถี่ ซึ่งทำให้วงจรมีขนาดใหญ่ใช้อุปกรณ์มาก งานวิจัยนี้จึงพิจารณาวิธีการจำจัดสัญญาณรบกวน โดยการเพิ่มค่า CMRR

3.1.3 อัตราการขัดสัญญาณโหมดร่วม (Common Mode Rejection Ratio: CMRR) [R. P. Areny, John G. Webster, 1991]

อัตราการขัดสัญญาณโหมดร่วม นับเป็นพารามิเตอร์ที่สำคัญของวงจรขยายสัญญาณ ใบโอ โพเทนเซียล ซึ่งวงจรที่มีค่าอัตราการขัดสัญญาณโหมดร่วมสูงจะเป็นวงจรขยายที่สามารถลดตอนสัญญาณรบกวนแบบโหมดร่วมได้ดี ในงานวิจัยนี้ได้ออกแบบวงจรขยายสัญญาณใบโอ โพเทนเซียล ที่มีอัตราการขัดสัญญาณโหมดร่วมสูง โดยการวิเคราะห์จาก วงจรขยายพื้นฐานเพื่อให้วงจรขยายสัญญาณใบโอ โพเทนเซียล มีอัตราการขัดสัญญาณโหมดร่วมสูง

อัตราการขัดสัญญาณโหมดร่วมหาได้จากสมการ 3.1(a,b)

$$CMRR = \frac{G_D}{G_C} \quad (3.1a)$$

หรือเขียนอยู่ในรูปของเดซิเบล

$$CMRR = 20 \log_{10} (G_D/G_C) \text{ dB} \quad (3.1b)$$

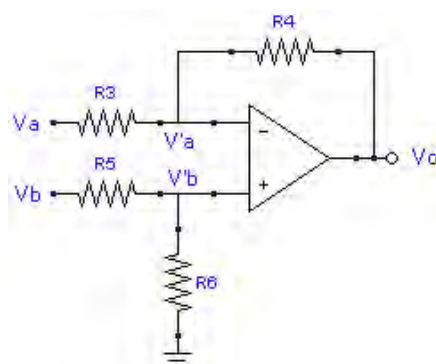
เมื่อ G_D กืออัตราการขยายผลต่าง (Differential Mode Gain)

G_C กืออัตราการขยายโหมดร่วม (Common Mode Gain)

จากสมการที่ 3.1 การจะเพิ่มค่า CMRR นั้นเราสามารถเพิ่มค่าได้โดยการเพิ่มอัตราการขยายผลต่าง หรือลดค่าอัตราการขยายโหมดร่วม

3.2 วงจรขยายผลต่าง (Differential Amplifier) [R. P. Areny, John G. Webster, 1991]

เป็นวงจรขยายสัญญาณที่ใช้การเปรียบเทียบสัญญาณอินพุทที่เข้ามาที่ขาอินพุททั้งสองของอุปแอมป์ โดยที่ผลลัพธ์ที่ได้ทางเอาท์พุตเป็นผลของการลบของสัญญาณอินพุตทั้งสองแล้วคูณด้วยอัตราการขยายวงจร ดังแสดงในภาพประกอบ 3.4



ภาพประกอบ 3.4 วงจรขยายความแตกต่าง

จากวงจรในภาพประกอบ 3.4 สามารถหาค่าอัตราการขัดสัญญาณแบบใหม่คร่าวมได้ดังนี้

พิจารณาด้านแรงดันเอาท์พุท (Output Voltage : V_o)

$$V_o = A_d(v'_b - v'_a) + A_c(v'_b + v'_a)/2 \quad (3.2)$$

$$V_o = G_d(v_b - v_a) + G_c(v_b + v_a)/2 \quad (3.3)$$

พิจารณาโดยใช้กฎของเกอร์ชอฟฟ์ หาค่า v'_a, v'_b, v_a, v_b จะได้

$$\begin{aligned} \frac{v_a - v'_a}{R_3} &= \frac{v'_a - v_o}{R_4} \\ v'_a &= \frac{v_a R_4}{R_3 + R_4} + \frac{v_o R_3}{R_4 + R_5} \\ v'_b &= \frac{v_b R_6}{R_5 + R_6} \\ v'_b - v'_a &= \frac{v_b R_6}{R_5 + R_6} - \frac{v_a R_4}{R_3 + R_4} - \frac{v_o R_3}{R_3 + R_4} \end{aligned} \quad (3.4)$$

$$v'_b + v'_a = \frac{v_b R_6}{R_5 + R_6} + \frac{v_a R_4}{R_3 + R_4} + \frac{v_o R_3}{R_3 + R_4} \quad (3.5)$$

แทนค่าใน (3.2)

$$\begin{aligned} v_o &= v_b A_d \frac{R_6}{R_5 + R_6} - v_a A_d \frac{R_4}{R_3 + R_4} - v_o A_d \frac{R_3}{R_3 + R_4} + v_b \frac{A_c}{2} \frac{R_6}{R_5 + R_6} \\ &\quad + v_a \frac{A_c}{2} \frac{R_4}{R_3 + R_4} + v_o \frac{A_c}{2} \frac{R_3}{R_3 + R_4} \\ v_o + v_o A_d \frac{R_3}{R_3 + R_4} - v_o \frac{A_c}{2} \frac{R_3}{R_3 + R_4} &= v_o \left(1 + \left(A_d - \frac{A_c}{2} \right) \frac{R_3}{R_3 + R_4} \right) = v_o M \\ v_o M &= \left(A_d + \frac{A_c}{2} \right) \frac{R_6}{R_5 + R_6} v_b - \left(A_d - \frac{A_c}{2} \right) \frac{R_4}{R_3 + R_4} v_a \end{aligned} \quad (3.6)$$

ขัดสมการ (3.3) ใหม่

$$v_o = \left(G_d + \frac{G_c}{2} \right) v_b - \left(G_d - \frac{G_c}{2} \right) v_a \quad (3.7)$$

เทียบสัมประสิทธิ์ จะได้ว่า

$$G_d + \frac{G_c}{2} = \frac{1}{M} \left(A_d + \frac{A_c}{2} \right) \frac{R_6}{R_5 + R_6} \quad (3.8)$$

$$G_d - \frac{G_c}{2} = \frac{1}{M} \left(A_d - \frac{A_c}{2} \right) \frac{R_4}{R_3 + R_4} \quad (3.9)$$

$$\therefore G_d = \frac{1}{2} \left[\frac{\frac{R_4}{R_3+R_4} \left(A_d - \frac{A_c}{2} \right) + \frac{R_6}{R_5+R_6} \left(A_d + \frac{A_c}{2} \right)}{1 + \left(A_d - \frac{A_c}{2} \right) \frac{R_3}{R_3+R_4}} \right] \quad (3.10)$$

$$\therefore G_c = \left[\frac{\frac{R_4}{R_3+R_4} \left(-A_d + \frac{A_c}{2} \right) + \frac{R_6}{R_5+R_6} \left(A_d + \frac{A_c}{2} \right)}{1 + \left(A_d - \frac{A_c}{2} \right) \frac{R_3}{R_3+R_4}} \right] \quad (3.11)$$

$$\therefore CMRR_D = \frac{G_d}{G_c} = \frac{1}{2} \left[\frac{A_d \left(\frac{R_6}{R_5+R_6} + \frac{R_4}{R_3+R_4} \right) + \frac{A_c}{2} \left(\frac{R_6}{R_5+R_6} - \frac{R_4}{R_3+R_4} \right)}{A_d \left(\frac{R_6}{R_5+R_6} - \frac{R_4}{R_3+R_4} \right) + \frac{A_c}{2} \left(\frac{R_6}{R_5+R_6} + \frac{R_4}{R_3+R_4} \right)} \right] \quad (3.12)$$

ในการผังอปแอมป์อุดมคติ CMRR จะมีค่าเป็นอนันต์ (∞) $\lim_{A_c \rightarrow 0} \frac{A_d}{A_c}$

$$\begin{aligned} \therefore \lim_{A_c \rightarrow 0} \{CMRR_D\} &= \frac{1}{2} \left[\frac{A_d \left(\frac{R_6}{R_5+R_6} + \frac{R_4}{R_3+R_4} \right)}{A_d \left(\frac{R_6}{R_5+R_6} - \frac{R_4}{R_3+R_4} \right)} \right] \\ &= \frac{1}{2} \left[\frac{R_3R_6 + R_4R_5 + 2R_4R_6}{R_3R_6 - R_4R_5} \right] \end{aligned} \quad (3.13)$$

นิยามให้ $\lim_{A_c \rightarrow 0} \{CMRR_D\} = CMRR_R$

เนื่องจากวงจรประกอบด้วย Opamp และ Resistor (R) และให้ Opamp มี $CMRR_{opamp}$
 $\Rightarrow \infty$ ดังนั้นองค์ประกอบที่เหลือจึงเป็น CMRR ของตัวต้านทาน ($CMRR_R$) ที่ประกอบเป็นวงจร
 จาก (3.12) เผยนสมการใหม่จะได้

$$CMRR_D = \frac{(CMRR_R)(CMRR_{opamp}) + \frac{1}{4}}{(CMRR_R) + (CMRR_{opamp})} \quad (3.14)$$

จาก (3.14) พบร้า $CMRR_R$ มีค่าสูง ประกอบกับ $CMRR_{opamp}$ มีค่ามากกว่า 100 เท่า

$$CMRR_D \approx \frac{(CMRR_R)(CMRR_{opamp})}{(CMRR_R) + (CMRR_{opamp})} \quad (3.15)$$

เมื่อ $(CMRR_R)(CMRR_{opamp}) \gg \frac{1}{4}$ ดังนั้น

$$\frac{1}{CMRR_D} = \frac{1}{(CMRR_R)} + \frac{1}{(CMRR_{opamp})} \quad (3.16)$$

3.2.1 การเพิ่ม CMRR ด้วยการลดค่า CMRR_R

จากสมการที่ 11 ถ้าอัตราการขัดสัญญาณโโนมคร่าวมของความต้านทาน (CMRR_R) เป็นลบ ค่าอัตราการขัดสัญญาณโโนมคร่าวม (CMRR_T) จะเพิ่มขึ้น พิจารณา

สมการที่ (3.13) CMRR_R จะเป็นลบก็ต่อเมื่อ $R_3R_6 < R_4R_5$
ดังนั้น

$$R_6 < \frac{R_4 \cdot R_5}{R_3}$$

เพราจะนั้น การปรับค่า R₆ จะช่วยเพิ่ม CMRR_T แต่ต้องระวังอัตราการขยายของวงจรซึ่งอาจจะไม่ Symmetry ในด้านบวกและลบ

3.2.1 การเพิ่ม CMRR ด้วยการเพิ่มอัตราการขยายผลต่าง จากการอัตราการขยายผลต่าง หาได้จาก

$$k = \frac{R_4}{R_3} = \frac{R_6}{R_5} \quad (3.17)$$

ถ้าให้ ตัวต้านทานคลาดเคลื่อน t% (0.01t)

$$\text{โดยที่ } R_3 = R'_3(1+0.01t); \quad R_4 = R'_4(1-0.01t) \\ R_5 = R'_5(1-0.01t); \quad R_6 = R'_6(1+0.01t)$$

$$\therefore CMRR_R = \frac{k(1-(0.01t)^2)+1+(0.01t)^2}{0.04t} \approx \frac{k+1}{0.04t} \quad (3.18)$$

ถ้า k >> 1

$$CMRR_R \approx \frac{25k}{t} \quad (3.19)$$

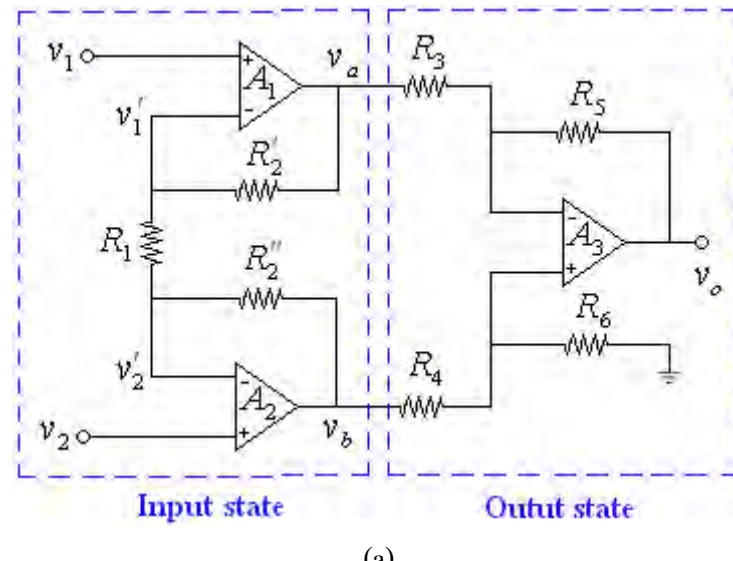
3.3 วงจรขยายอินสตრูเม้นเตชัน (Instrumentation Amplifier ; I.A.) [R. P. Arely, John G. Webster, 1991]

รูปที่ 3.5(a) แสดงโครงสร้างของวงจร I.A. ประกอบไปด้วย 2 ภาค คือ ภาคแรกเป็นภาคอินพุท ประกอบด้วยอปแอมป์ 2 ตัว (A_1 และ A_2) และภาคที่สองเป็นภาคเอาท์พุท (A_3) ซึ่งก็คือวงจรขยายผลต่างนั้นเอง รูปที่ 3.5(b) เป็นวงจรสมมูลของวงจร I.A. โดยจะเห็นว่าวงจรจะเป็นการต่อ กันแบบ cascade ระหว่างภาคแรกที่เป็นภาคอินพุท กับภาคที่สองที่เป็นภาคเอาท์พุท ซึ่งภาคแรกแทนด้วยค่า $CMRR_F$ และภาคที่สองเป็นภาคเอาท์พุทแทนด้วย $CMRR_S$ ดังนั้นค่าอัตราการจัดสัญญาณโโนมคร่วมรวม ($CMRR_T$) ของวงจรจะขึ้นอยู่กับ $CMRR$ ของภาคอินพุตและภาคเอาท์พุตของวงจร ซึ่งสามารถวิเคราะห์หาค่า $CMRR$ ดังสมการต่อไปนี้

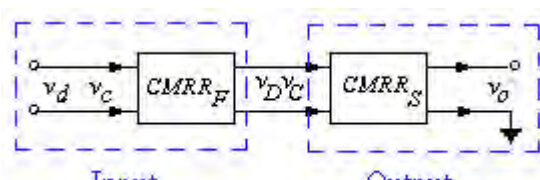
$$v_o = G_d v_D + G_c v_C \quad (3.20)$$

เมื่อ G_d คือ อัตราการขยายความแตกต่างของภาคที่สอง

G_c คือ อัตราการขยายโโนมคร่วมของภาคที่สอง



(a)



(b)

ภาพประกอบ 3.5 (a) วงจรขยายอินสตรูเมนเตชัน (b) วงจรสมมูลของ (a)
CMRR รวมของวงจรคือ $CMRR_T$ หากได้จากอัตราส่วนระหว่างแรงดันเอาท์พุตกับแรงดัน
อินพุตดังสมการ

$$CMRR_T = \frac{v_o / v_d | v_c = 0}{v_o / v_c | v_d = 0} \quad (3.21)$$

หรือ

$$\frac{1}{CMRR_T} \approx \frac{1}{CMRR_F} + \frac{1}{CMRR_S} \quad (3.22)$$

จากสมการจะเห็นว่า $CMRR_T$ ของวงจรจะมากหรือน้อยขึ้นอยู่กับ $CMRR_F$ และ $CMRR_S$ ซึ่งค่า
 $CMRR_F$ หากได้จากสมการ

$$CMRR_1 = A_{d1} / A_{c1} \quad CMRR_2 = A_{d2} / A_{c2} \quad (3.23)$$

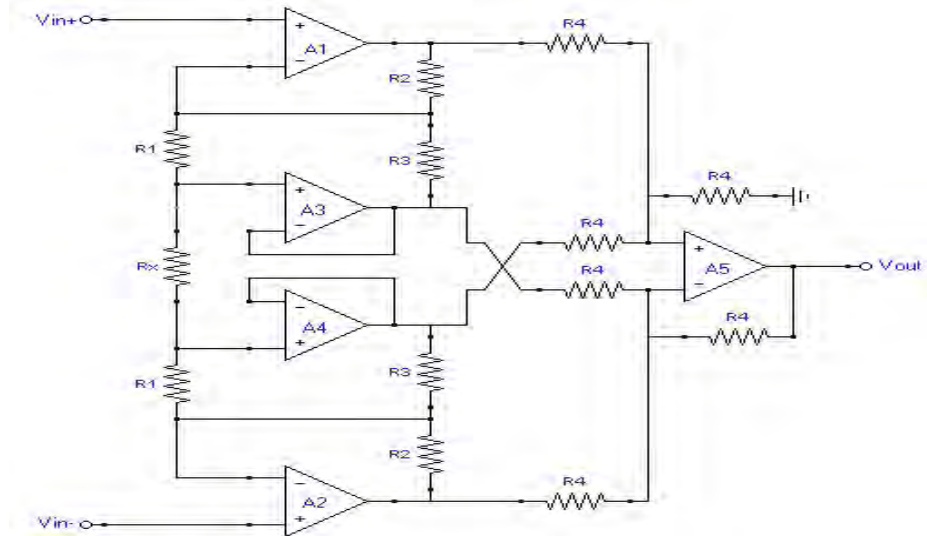
$$\frac{1}{CMRR_F} \approx \frac{1}{A_{d1}} - \frac{1}{A_{d2}} + \frac{1}{CMRR_2} - \frac{1}{CMRR_1} \quad (3.24)$$

เมื่อ	A_{d1}	คือ อัตราการขยายผลต่างของ A_1
	A_{c1}	คือ อัตราการขยายโหมดร่วมของ A_1
	A_{d2}	คือ อัตราการขยายผลต่างของ A_2
	A_{c2}	คือ อัตราการขยายโหมดร่วมของ A_2
	$CMRR_1$	คือ อัตราการขัดสัญญาณโหมดร่วมของ A_1
	$CMRR_2$	คือ อัตราการขัดสัญญาณโหมดร่วมของ A_2
	$CMRR_T$	คือ อัตราการขัดสัญญาณโหมดร่วมของวงจร
	$CMRR_F$	คือ อัตราการขัดสัญญาณโหมดร่วมของภาคอินพุต (A_1, A_2)
	$CMRR_S$	คือ อัตราการขัดสัญญาณโหมดร่วมของภาคเอาท์พุต (A_3)

3.4 วงจรเพิ่มอัตราการขัดสัญญาณโหมดร่วม (CMRR enhancement Circuit)

จากการขยายอินสตรูเมนต์ฟีนรูราน ได้ปรับปรุงวงจรเพื่อให้สามารถเพิ่มค่าอัตราการขัด
สัญญาณโหมดร่วม ให้สูงขึ้น ดังแสดงในภาพประกอบ 3.6 ซึ่งประกอบด้วยส่วนที่เป็นภาคอินพุต
และส่วนที่เป็นภาคเอาท์พุต โดยภาคอินพุตประกอบด้วยอปเปนเซอร์ฟีนวน 4 ตัวคือ A_1, A_2, A_3 และ
 A_4 ซึ่ง A_1 และ A_2 เป็นตัวขยายหลักของวงจรภาคอินพุต A_3, A_4 เป็นวงจรขยายบีฟอร์ (buffer
amplifier) อัตราขยายเท่ากับ 1 แรงดันที่ขาอนอนอินเวอร์ติงของ A_3, A_4 จะเท่ากับแรงดันที่ R_1, R_3 ที่

ต่อ กันแบบขนาน ดังนั้นอัตราส่วนของกระแสที่ไหลผ่าน R_1 และ R_3 จะได้ดังสมการที่ (3.25)



ภาพประกอบ 3.6 วงจรเพิ่มอัตราการขัดสัญญาณ โว้มครัวม

$$\frac{I_{R3}}{I_{R1}} = \frac{R_1}{R_3} \quad (3.25)$$

ดังนั้นกระแสที่ไหลผ่าน R_2 คือผลรวมของกระแสที่ไหลผ่าน R_1 และ R_3 ดังสมการที่ (3.26)

$$I_{R2} = I_{R1} + I_{R3} = \left(1 + \frac{R_1}{R_3}\right) I_{R1} \quad (3.26)$$

ภาคเอาท์พุทของวงจรคือวงจรขยายผลต่างๆที่มีอัตราการขยายเท่ากับ 1 (unity gain) โดยมีสัญญาณอินพุท 4 อินพุท เราสามารถคำนวณหาแรงดันเอาท์พุท (Output Voltage; V_o) และอัตราการขยายผลต่าง (differential gain, G_D) ได้ดังสมการ

$$V_o = G_D (V_{in+} - V_{in-}) \quad (3.27)$$

$$G_D = \frac{2R_2R_3 + 2R_1R_2 + 2R_1R_3}{R_3R_x + 2R_1R_3} \quad (3.28)$$

ถ้า ให้ $R_1 >> R_2 >> R_x$,

$$G_D = 1 + \frac{R_2}{R_3}. \quad (3.29)$$

ถ้าให้อัตราขยายแรงดันโภมคร่วม (common mode voltage gain) และอัตราขยายแรงดันความแตกต่าง (differential mode voltage gain) เท่ากับ 1 สามารถคำนวณหา CMRR น้อยที่สุดของจริงได้จากสมการที่ (3.31)

$$CMRR = \frac{A_{(D1-4)}}{A_{(C1-4)}} \times \frac{A_{D5}}{A_{C5}} = A_D \times \frac{1}{4\delta / (1 + R_4 / 2R_4)} = A_D \times \frac{1.5}{4\delta} \quad (3.30)$$

$$CMRR = 0.375 \cdot \frac{A_D}{\delta} \quad (3.31)$$

เมื่อ δ คือค่าผิดพลาดที่ยอมรับได้ของ R_4 (คิดเป็น %) $A_{(D1-4)}$ คืออัตราขยายความแตกต่างของ A_1 ถึง A_4 $A_{(C1-4)}$ คืออัตราขยายโภมคร่วมของ A_1 ถึง A_4 A_{D5} คืออัตราขยายความแตกต่างของ A_5 A_{C5} คืออัตราขยายโภมคร่วมของ A_5

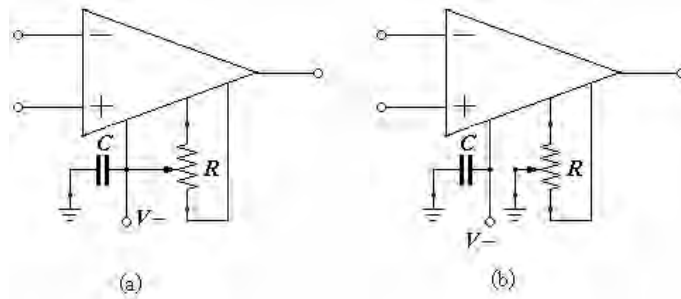
ถ้ากำหนดให้ $A_D = 1000$, $\delta = 1\%$ จากสมการที่ (3.28) จะได้ค่า CMRR น้อยที่สุดเท่ากับ 91.5 dB (คิดที่อุปแอมป์อุดมคติ)

3.5 การกำจัดแรงดันไฟตรง (DC Suppression)

สัญญาณแรงดันไฟตรงที่เกิดขึ้นในวงจรขยายสัญญาณไปโอปเทนเชียล ประกอบด้วย สัญญาณแรงดันออฟเซ็ตที่เกิดขึ้นเนื่องจากอุปแอมป์ และแรงดันไฟตรงครึ่งเซลล์ (Half – Cell Potential) ที่เกิดจากจุดที่วัดระหว่างอิเล็กโทรดกับผิวนังของคนไข้ ซึ่งแรงดันไฟตรงที่เกิดขึ้นนี้จะถูกขยายให้มีค่ามากขึ้นที่อาจทำให้วงจรขยายไปโอปเทนเชียล ล้มตัว เกิดมีแรงดันเอาท์พุตค้างอยู่ที่ค่าเกือบท่าแรงดันไฟฟ้าของแหล่งจ่ายไฟด้านใดด้านหนึ่ง (บวกหรือลบ) และวงจรไม่สามารถทำงานได้

3.5.1 การกำจัดแรงดันออฟเซ็ตของอุปแอมป์

แรงดันออฟเซ็ตเอาท์พุตของอุปแอมป์ (Output Offset Voltage, V_{op}) เป็นปรากฏการณ์ที่แรงดันที่เอาท์พุตมีค่าไม่เป็นศูนย์เมื่อให้อินพุตเป็นศูนย์ ซึ่งเป็นคุณสมบัติทางปฏิบัติของอุปแอมป์ เนื่องจากคุณสมบัติภายในจรที่เกิดจากกระแสไอน้ำของอุปกรณ์สารกึ่งตัวนำ เป็นหลัก จึงทำให้ปรากฏแรงดันขึ้นที่เอาท์พุตของอุปแอมป์ เราสามารถแก้ปัญหาแรงดันออฟเซ็ตโดยการต่อแรงดันชดเชยที่ขา Offset-null ของไอซี ดังภาพประกอบที่ 3.7

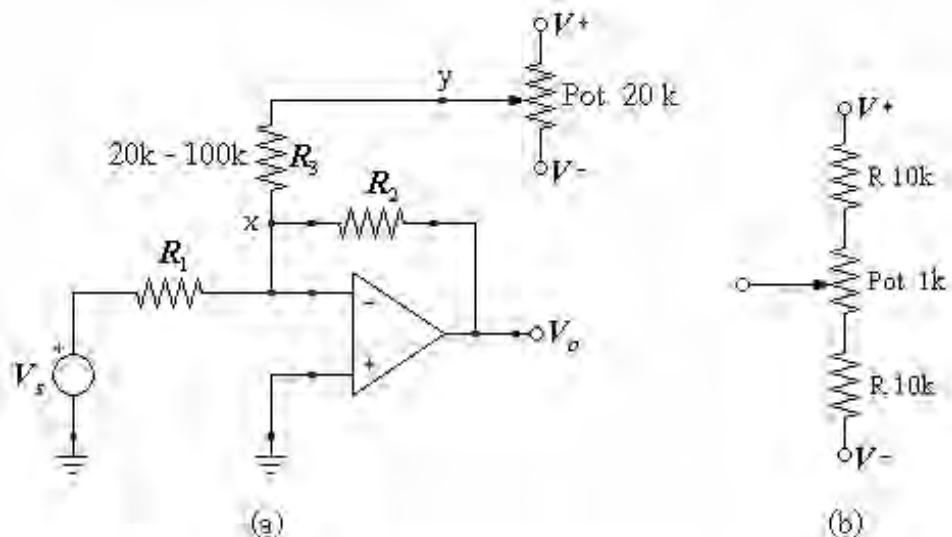


ภาพประกอบ 3.7 การชดเชยแรงดันอากาศที่พุทธอฟเซ็ต โดยใช้ขา Offset null ของไอซี

ในกรณีที่อุปกรณ์ไม่มีขาปรับออฟเซ็ตศูนย์ การปรับแก้แรงดันออฟเซ็ตนั้นต้องต่อวงจรเพิ่มเติม ดังแสดงในภาพประกอบ 3.8 โดยการต่อวงจรเพิ่มเติมแบบนี้จะทำให้การปรับแก้แรงดันออฟเซ็ตสามารถปรับได้ทั้งทางบวกและทางลบ ซึ่งสามารถใช้ได้กับทั้งวงจรขยายแบบกลับเฟส และวงจรขยายแบบไม่กลับเฟส

แรงดันอาห์พุตที่ชดเชย จะมีค่าเป็นไปตามเงื่อนไข

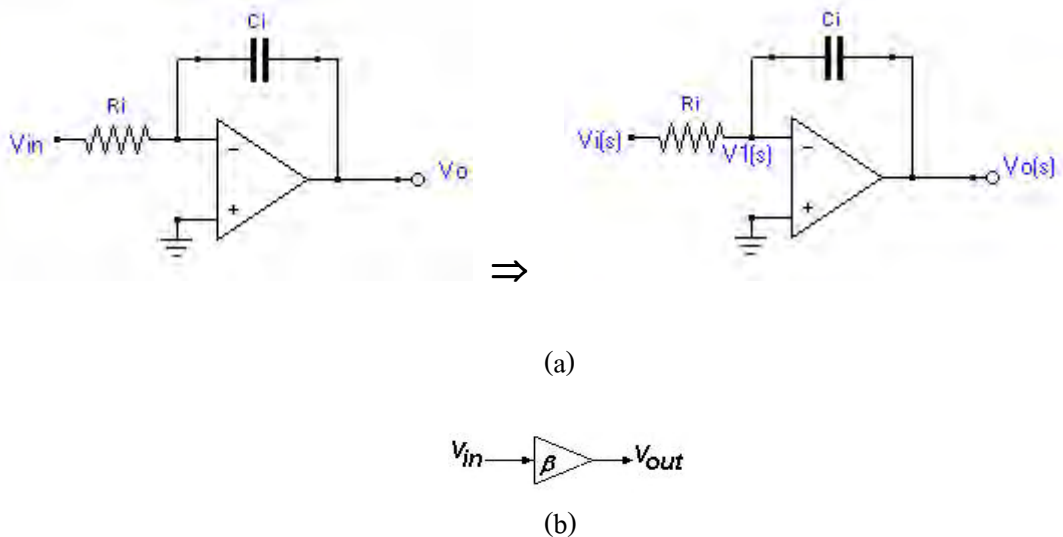
$$V'_o = -V_y \left(\frac{R_2}{R_3} \right) \quad (3.32)$$



ภาพประกอบ 3.8 (a) การชดเชยแรงดันอากาศพุกอฟเข็ต โดยวงจรภายในอก
(b) การเพิ่มความละเอียดในการปรับแรงดันชดเชย

3.5.2 การกำจัดแรงดันไฟตรงด้วยวงจรอินทิเกรต (Integrator) [John G. Webster, 1995]

สัญญาณเอาท์พุตของวงจรอินทิเกรต (Integrator) จะขึ้นอยู่กับการอินทิเกรต (Integral) บนเวลาของสัญญาณอินพุต ซึ่งจะมีค่าคงตัวเวลาของอาร์ชี (RC Time Constant) ของวงจรเป็นค่ากำหนดฟังก์ชันถ่ายโอน (Transfer Function) ของวงจรอินทิเกรต ดังในภาพประกอบ 3.9(a, b) และรูปจำลองของวงจรอินทิเกรต ดังแสดงในภาพประกอบ 3.9(c) โดยมีฟังก์ชันถ่ายโอน (Transfer Function; β) ดังสมการ 3.34



ภาพประกอบ 3.9 (a) วงจรอินทิเกรต (b) รูปจำลองของวงจรอินทิเกรต

$$\frac{V_1(s) - V_i(s)}{R_i} + Cs(V_1(s) - V_o(s)) = 0 \quad (3.33)$$

$$V_1(s) = 0$$

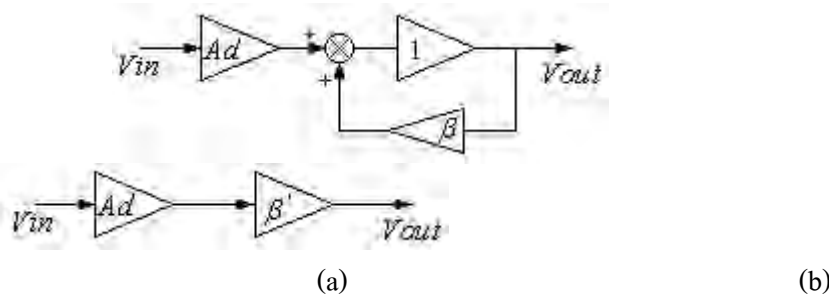
ดังนั้น

$$\frac{-V_i(s)}{R_i} - CsV_o(s) = 0 , \quad \frac{-V_i(s)}{R_i} = CsV_o(s)$$

$$\frac{V_o(s)}{V_i(s)} = -\frac{1}{sC_i R_i}$$

$$\beta = \frac{V_o(s)}{V_i(s)} = -\frac{1}{sC_i R_i} \quad (3.34)$$

จากภาพประกอบ 3.6 ถ้าให้ภาคอินพุตแทนอัตราการขยายด้วย A_d และภาคเอาท์พุตมีอัตราขยายเท่ากับหนึ่ง แทนด้วย 1 และจากการจะอินพุตแทนด้วย β นำทั้งหมดมาเขียนรวมกันในรูปการป้อนกลับแบบลบ จะได้ดังภาพประกอบ 3.10



ภาพประกอบ 3.10 (a) รูปจำลองการต่อวงจรป้อนกลับแบบลบ ของวงจรขยายสัญญาณ

(b) การลดรูปจำลองของวงจรขยายสัญญาณ

ฟังก์ชันถ่ายโอน β' หาได้จากสมการ

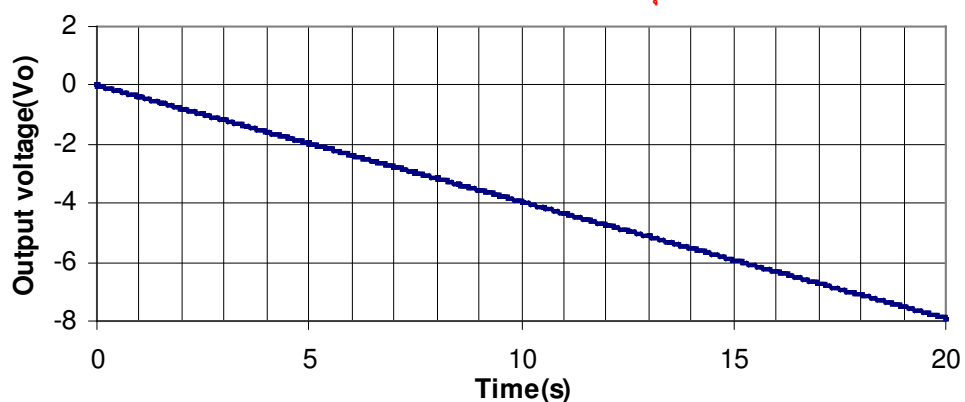
$$\beta' = \frac{1}{1-\beta} \quad (3.35)$$

อัตราการขยายของวงจร(Gain; G) ของวงจรหาได้ดังสมการ

$$G = A_d \cdot \frac{sC_i R_i}{1 + sC_i R_i} \quad (3.36)$$

ความถี่คัดอฟ (cut off frequency) ของวงจรหาได้ดังสมการ

$$f_c = \frac{1}{2\pi C_i R_i} \quad (3.37)$$



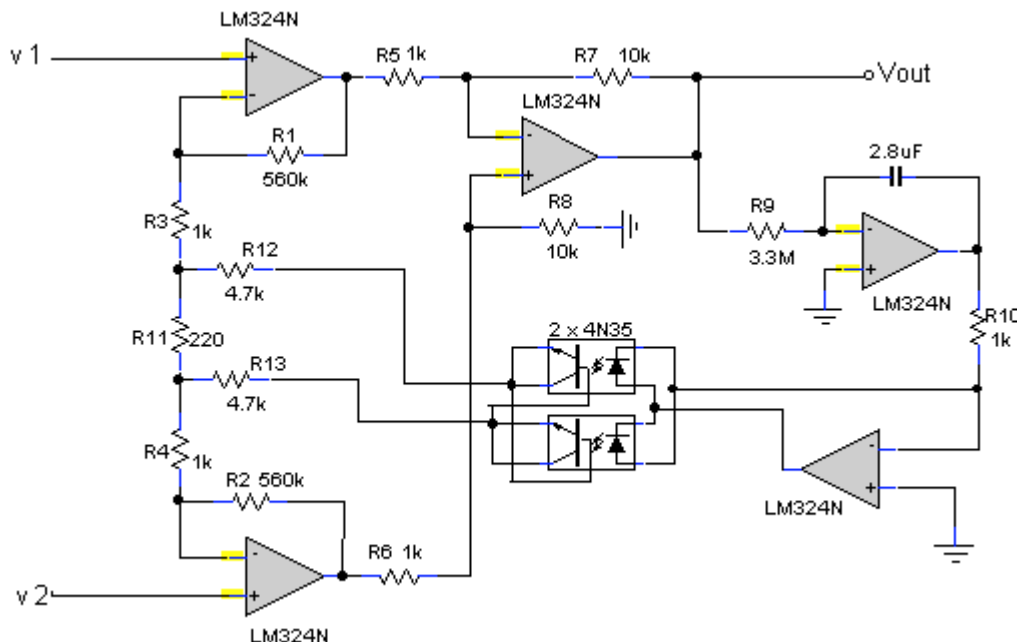
ภาพประกอบ 3.11 กราฟแสดงความสัมพันธ์ระหว่างแรงดันเอาท์พุตกับเวลาการตอบสนองของวงจร

จรริย์ทิเกรต โดย $R_i = 3.3 \text{ M}\Omega$, $C_i = 2.8 \mu\text{F}$

3.5.3 การกำจัดแรงดันไฟตรงด้วยการเชื่อมโยงทางแสง (Optocoupler DC Suppression)

[Enrique M. Spinelli and Miguel Angel Mayosky, 2000]

ซึ่งประกอบด้วยวงจรขยายสัญญาณไปโอลอฟเทนเซียล วงจรริย์ทิเกรต และวงจรออฟโตคูลป์เปอร์ (Optocoupler) ดังแสดงในภาพประกอบ 3.12 มีหลักการทำงานคือ นำสัญญาณที่ออกจากเอาท์พุตของวงจรขยายสัญญาณไปโอลอฟเทนเซียล เข้าวงจรริย์ทิเกรต โดยที่วงจร อินทิเกรตจะทำหน้าที่กลับเฟสของสัญญาณ จนนั้นนำสัญญาณที่ได้ป้อนกลับเข้าอินพุตโดยใช้งานการ เชื่อมโยงทางแสง ซึ่งจะทำให้กรานซิสเตอร์ที่ด้านอินพุตจ่ายกระแสเข้าอินพุตเพื่อขัดแรงดันดัง ออฟเซ็ตจากอินพุตให้น้อยลงเรื่อยๆ จนหายไปในที่สุด และสามารถคำนวณอัตราขยายของวงจร จากสมการ 3.39



ภาพประกอบ 3.12 วงจรกำจัดแรงดันไฟตรงด้วยการเชื่อมโยงทางแสง (Optocouple DC Suppression Circuit)

$$V_o = \left(V_{in} - K_f \cdot \frac{V_o}{s} \right) \cdot A_{DO} \quad (3.38)$$

$$A_D(s) = \frac{V_o}{V_{in}} = \frac{A_{DO} \cdot s}{(s + K_f \cdot A_{DO})} \quad (3.39)$$

$$f_c = \frac{K_f \cdot A_{Do}}{2\pi} \quad (3.40)$$

$$K_f = K_i \cdot K_{OP} \quad (3.41)$$

$$K_i = \frac{1}{R_i C_i} \quad (3.42)$$

เมื่อ

$A_D(s)$ คืออัตราการขยายความแตกต่างของทั้งสอง

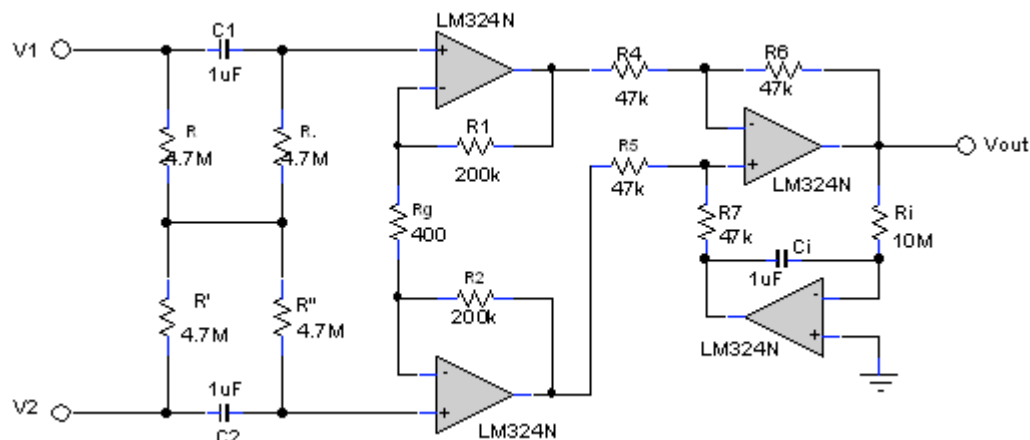
A_{DO} คืออัตราการขยายของ instrumentation amplifier

K_{OP} คืออัตราการขยายของออฟโตคูปเปอร์ (Optocoupler)

K_i คืออัตราการขยายของวงจร integrator

3.5.4 การกำจัดแรงดันไฟตรงโดยการต่อคากาชิเตอร์เป็นภาคหน้า [Enrique M. Spinelli, Ramon Pallas – Areny and Miguel Angel Mayosky, 2003]

ประกอบด้วยวงจรขยายสัญญาณ ไบโอลอเกนเชียล และวงจรอาร์-ซี ที่เป็นภาคหน้า ดังแสดงในภาพประกอบ 3.13



ภาพประกอบ 3.13 วงจรกำจัดแรงดันไฟตรงโดยการต่อคากาชิเตอร์เป็นภาคหน้า

โดยสามารถหาฟังก์ชันถ่ายโอน (Transfer function) ได้จากสมการที่ 3.46

$$T_1(s) = \frac{s\tau}{1+s\tau} \quad (3.43)$$

เมื่อ $RC = R'C' = \tau$

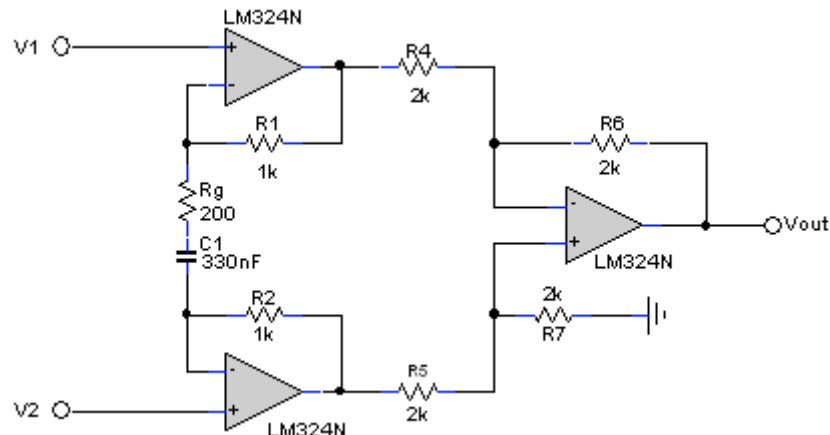
$$T_2(s) = \frac{s\tau_i A_{V0}}{1+s\tau_i} \quad (3.44)$$

$$\tau_i = R_i C_i \quad \text{and} \quad A_{V0} = \frac{1+2R_1}{R_g} \quad (3.45)$$

$$T(s) = \frac{s\tau}{(1+s\tau)} \cdot \frac{s\tau_i A_{V0}}{(1+s\tau_i)} \quad (3.46)$$

3.5.5 การกำจัดแรงดันไฟฟ้าโดยการต่อคากาซิเตอร์อนุกรมกับ R_g [Ramon Pallas – Areny, John G. Webster, 1993]

ภาพประกอบ 3.14 วงจรกำจัดแรงดันไฟฟ้าโดยการต่อคากาซิเตอร์อนุกรมกับ R_g มีหลักการทำงานเหมือนวงจรในสูตรเมนเดลัน โดยคากาซิเตอร์ (C) ที่ต่ออนุกรมอยู่กลับตัว ด้านหน้าปรับค่าอัตราการขยาย (R_g) เป็นตัวคั่ปลิงสัญญาณ



ภาพประกอบ 3.14 วงจรกำจัดแรงดันไฟฟ้าโดยการต่อคากาซิเตอร์อนุกรมกับ R_g

ชี้ส่วนราชการไฟฟ้าฟังก์ชันถ่ายโอนของวงจรได้ดังสมการ

$$H_1(s) = \frac{A_D}{1+A_D\beta_D} \quad (3.47)$$

$$A_D = \frac{A_0 \omega_{0a}}{s + \omega_{0a}} = \frac{\omega_{c0}}{s + \omega_{0a}} \quad (3.48)$$

$$\beta_D = \frac{1 + R_g C s}{1 + (R_g + 2R_1)C} = \frac{\omega_1 (s + \omega_2)}{\omega_2 (s + \omega_1)} \quad (3.49)$$

$$A_0 \omega_{0a} = \omega_{c0} \quad (3.50)$$

$$\omega_1 = \frac{1}{(R_g + 2R_1)C} \quad (3.51)$$

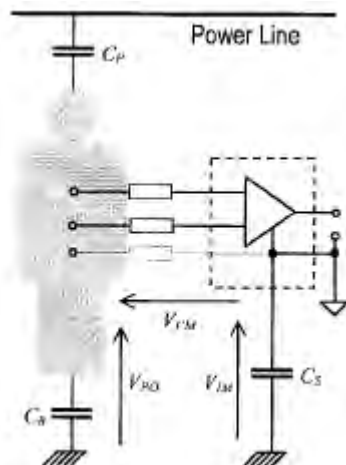
$$\omega_2 = \frac{1}{R_g C} \quad (3.52)$$

$$G_D = \frac{R_g + 2R_1}{R_g} = \frac{\omega_2}{\omega_1} \quad (3.53)$$

$$H1(s) = \frac{\omega_{c0}(s + \omega_1)}{s^2 + s\omega_{c0}/G + \omega_1\omega_{c0}} \approx \frac{\omega_{c0}(s + \omega_1)}{(s + \omega_2)(s + \omega_{c0}/G)} \quad (3.54)$$

3.6 Driven Right Leg Circuit (DRL) [Enrique Mario Spinelli, Nolberto H. Martinez, Miguel Angel Mayosky, 1999]

สัญญาณรบกวนที่เกิดจากแม่เหล็กไฟฟ้า (Electromagnetic interference, EMI) จะแทรกแข่งเข้าไปกับระบบการวัดของเครื่องวัดสัญญาณ ใบโอโพเทนเซียลได้หลายทาง และจะทำให้เกิดแรงดันไฟฟ้าโภมคร่วม (Common mode potential) ได้ระหว่างร่างกายของคน ใช้กับกราวด์ของวงจรขยายสัญญาณ ใบโอโพเทนเซียล ในการป้องกันและแก้ไขสัญญาณรบกวนจาก EMI ทำได้โดยใช้วงจร DRL (Driven-Right-Leg Circuit) ลักษณะการเกิดสัญญาณรบกวนจาก EMI แล้วทำให้เกิดแรงดันโภมคร่วมแสดงดังภาพประกอบ 3.15



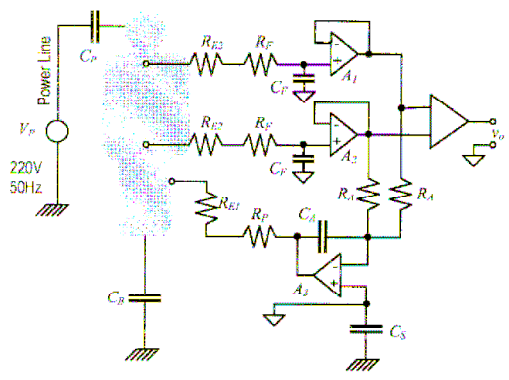
ภาพประกอบ 3.15 แบบจำลองการเกิดสัญญาณรบกวนจาก EMI

เมื่อ C_p คือ ค่าความจุระหว่างร่างกายกับ Power line

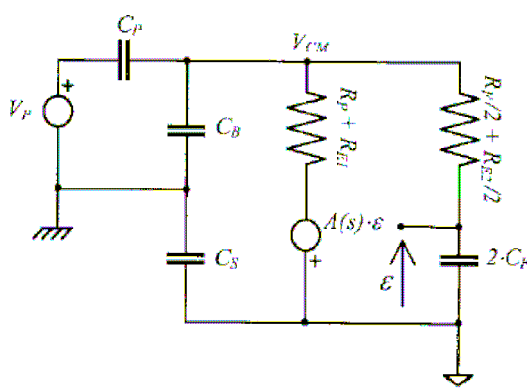
C_B คือค่าความจุระหว่างร่างกายกับกราวด์ (Ground)

V_{CM} คือแรงดันโภมคร่วม

V_{IM} คือแรงดันระหว่างจุดกลางกับกราวด์



ภาพประกอบ 3.16 รายละเอียดของวงจร DRL



ภาพประกอบ 3.17 วงจรเทียบเคียงของแรงดันคอมมอนโหมด

จากรวงจรในภาพประกอบ 3.17 มีพังก์ชันถ่ายโอนระหว่าง V_{CM} กับ V_p ดังสมการข้างล่าง

$$\frac{V_{CM}}{V_p} = KCS \frac{\frac{(1+s\tau_0)Rs}{(1+s\tau_0)(1+s\tau_1)+s\tau_2}}{1 + \frac{A(s)}{(1+s\tau_0)(1+s\tau_1)+s\tau_2}} \quad (3.55)$$

เมื่อ

$$R_0 = (R_f + R_{E2})/2; \quad R_s = R_p + R_{E1}; \quad C_0 = 2C_F; \\ C_N = \frac{C_s(C_p + C_B)}{C_s + C_p + C_B}; \quad K_C = \frac{C_p \cdot C_s}{C_s + C_p + C_B}$$

$$\tau_0 = R_0 C_0; \quad \tau_1 = R_s C_N; \quad \tau_2 = R_s C_0$$

ซึ่งเราไม่สามารถหาค่าที่แน่นอนได้ทุกค่า เช่น ตัวเก็บประจุ ความต้านทานของอิเล็กโทรด และอัตราขยายแบบวงรอบเปิด (Open loop gain) หาได้จาก

$$GH(s) = \frac{A(s)}{(1+s\cdot\tau_0)(1+s\cdot\tau_1)+s\cdot\tau_2} \quad (3.56)$$

โดยมีค่าเวลาคงที่ (time constant) ของ A3 ซึ่งเป็นวงจร integrate เท่ากับ

$$\tau_{A0} = \frac{R_A}{2} \cdot C_A R_{V0} \quad (3.57)$$

และมีอัตราการขยายแบบเปิดสูป คือ

$$GH(s) = \frac{A_0}{(1+s\cdot\tau_{A0})(s^2\tau_0\tau_1 + (\tau_0 + \tau_1 + \tau_2)s + 1)} \quad (3.58)$$

ซึ่งจะนี้เราสามารถชดเชยค่าที่เราไม่ทราบโดยการปรับ R_A และ C_A โดยทั่วไปเรายอมรับค่าต่างๆ คือ

$$C_S = 200 \text{ pF}, \quad C_P = 2 \text{ pF}, \quad C_B = 200 \text{ pF}, \quad C_F = 200 \text{ pF}, \\ R_F = 10 \text{ k}\Omega, \quad R_{E1} = R_{E2} = 100 \text{ k}\Omega, \quad R_P = 100 \text{ k}\Omega, \quad A_{V0} = 110 \text{ dB}$$

จะได้ผลลัพธ์ คือ

$$C_0 = 400 \text{ pF}, \quad C_N = 100 \text{ pF}, \quad K_C \cong 200 \text{ pF}, \quad R_0 = 55 \text{ k}\Omega, \\ R_S = 200 \text{ k}\Omega, \quad \tau_0 = 22 \text{ us}, \quad \tau_1 = 20 \text{ us}, \quad \tau_2 = 80 \text{ us}, \quad R_A/2C_A = 100 \text{ us}, \\ \text{จะได้ พังก์ชันถ่ายโอนที่ชดเชยแล้วคือ}$$

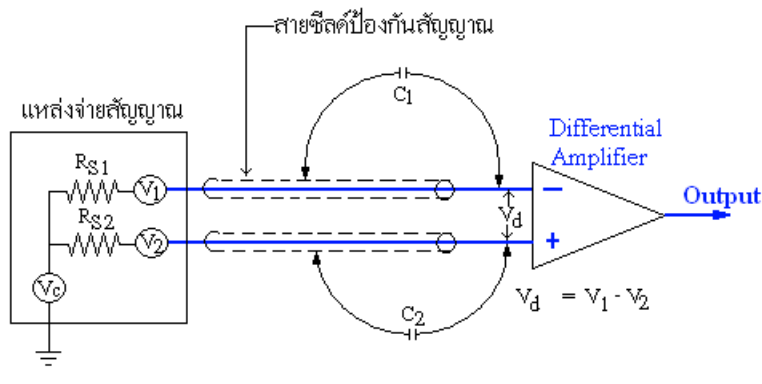
$$\frac{V_{CM}}{V_P} = \frac{1pF \cdot 200k\Omega \cdot (1+s \cdot 22\mu s)(1+s \cdot 33.5\mu s)}{(1+s \cdot 122\mu s + s^2 \cdot 440\mu s^2)(1+s \cdot 33.5) + 10^{5.5}} \quad (3.59)$$

3.7 การซีลเด็ปองกันสัญญาณรบกวน [สุรภัทร วงศ์เวียงจันทร์, 2537]

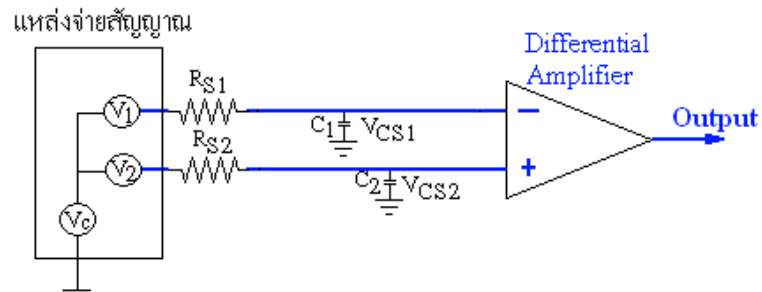
การใช้หลักการแบบ CMRR อาจจะได้ผลดีมาก แต่ในทางปฏิบัติจะมีความยุ่งยากมากคือ สัญญาณทางเอาต์พุตของวงจรขยายความแตกต่างจะไม่เป็นศูนย์จริง ๆ สำหรับสัญญาณรบกวนเนื่องจากความไม่สมดุลกันของสัญญาณทางอินพุต ดังแสดงความสัมพันธ์ไว้ในภาพประกอบ 3.18 (ก) แสดงรายละเอียด และส่วนประกอบภายในของวงจรในภาพประกอบ 3.1 จะพบว่าแหล่งกำเนิด

สัญญาณนั้นไม่สมดุลกันทั้งหมด รวมไปถึงการใช้สายนำสัญญาณที่มีชีลค์ด้วยสองเส้น ซึ่งอาจจะไม่เท่ากันทั้งสองเส้น

ภาพประกอบ 3.18 (ข) จะแสดงถึงวงจรสมบูรณ์ของภาพประกอบ 3.16 (ก) ซึ่งมีค่าความจุไฟฟ้า (C_1, C_2) ที่เกิดขึ้นมาจากสายนำสัญญาณกับกราวด์ หรือชีลค์ ตัวด้านหน้า R_{S1} และ R_{S2} ในภาพประกอบ 3.18 (ก) เป็นค่าความต้านทานภายในของแหล่งกำเนิดสัญญาณ ปกติจะมีค่าน้อยมาก แต่บางกรณี เช่น อุปกรณ์ตรวจจับทางแสงจะมีค่าความต้านทาน R_{S1} และ R_{S2} ที่สูงมาก รวมทั้งแรงดันที่ต่อกรุ่มตัวเก็บประจุ V_{CS1} และ V_{CS2} มีความแตกต่างกัน ซึ่งจะมีผลต่อสัญญาณที่จะถูกทำการขยายด้วย



(ก)



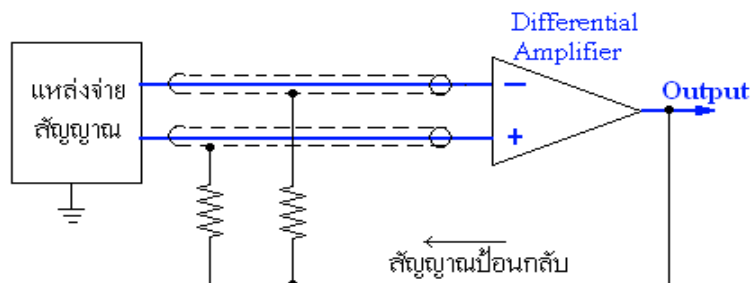
(ข)

ภาพประกอบ 3.18 (ก) การเกิดค่าประจุไฟฟ้าในสายนำสัญญาณกับกราวด์หรือชีลค์

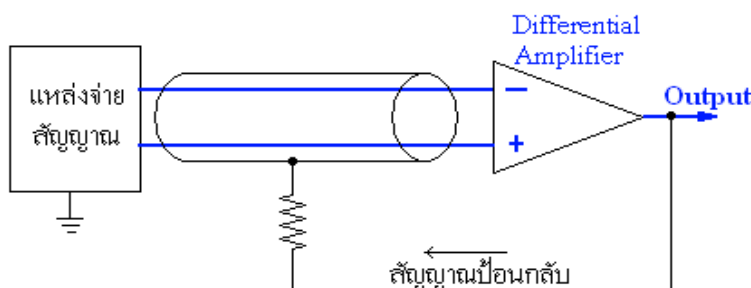
(ข) วงจรสมบูรณ์ของภาพประกอบ 3.18 (ก)

การแก้ไขปัญหาที่เกิดขึ้นในวงจรภาพประกอบ 3.18 สามารถแก้ไขได้โดยการป้อนกลับสัญญาณจากआต์พุตมาขังชีลค์ของสายนำสัญญาณทางอินพุต แสดงไว้ในภาพประกอบ 3.19 ซึ่งก็

สามารถทำได้สองลักษณะด้วยกัน ข้อสำคัญของการป้อนกลับแบบนี้คือชีลด์ของสายนำสัญญาณจะต้องไม่ต่อลงกราวด์และเรียกว่าการดีซีล์ด (guard shielding)



(ก)



(ก)

ภาพประกอบ 3.19 (ก) การป้อนกลับมายังชีลด์แยกชุด

(ก) การป้อนกลับมายังชีลด์ร่วมชุดเดียว

3.8 สรุปท้ายบท

เนื้อหาโดยรวมของบทนี้ได้กล่าวถึง การออกแบบและวิเคราะห์วงจรขยายสัญญาณไปโอลอฟแทนเชียล โดยการเพิ่มอัตราการขัดสัญญาณ โหนดร่วม ด้วยวงจรขยายผลต่าง (Differential Amplifier) และวงจรเพิ่มอัตราการขัดสัญญาณ โหนดร่วม (CMRR enhancement Circuit) การกำจัดแรงดันไฟตรงที่เกิดขึ้นเนื่องจากตัวอปเปอเรนเซอร์ จากแรงดันครึ่งเซลล์ (Half-Cell Potential) และการกำจัดสัญญาณรบกวนที่เกิดจากแม่เหล็กไฟฟ้า(Electromagnetic interference, EMI) ด้วย DRL สัญญาณรบกวนที่เกิดขึ้นจากสัญญาณความถี่ 50 เฮิรตซ์ การชีลด์ป้องกันสัญญาณรบกวน ส่วนในบทที่ 4 ได้กล่าวถึงการกำลังสัญญาณ และการทดลองวงจรขยายสัญญาณไปโอลอฟแทนเชียล